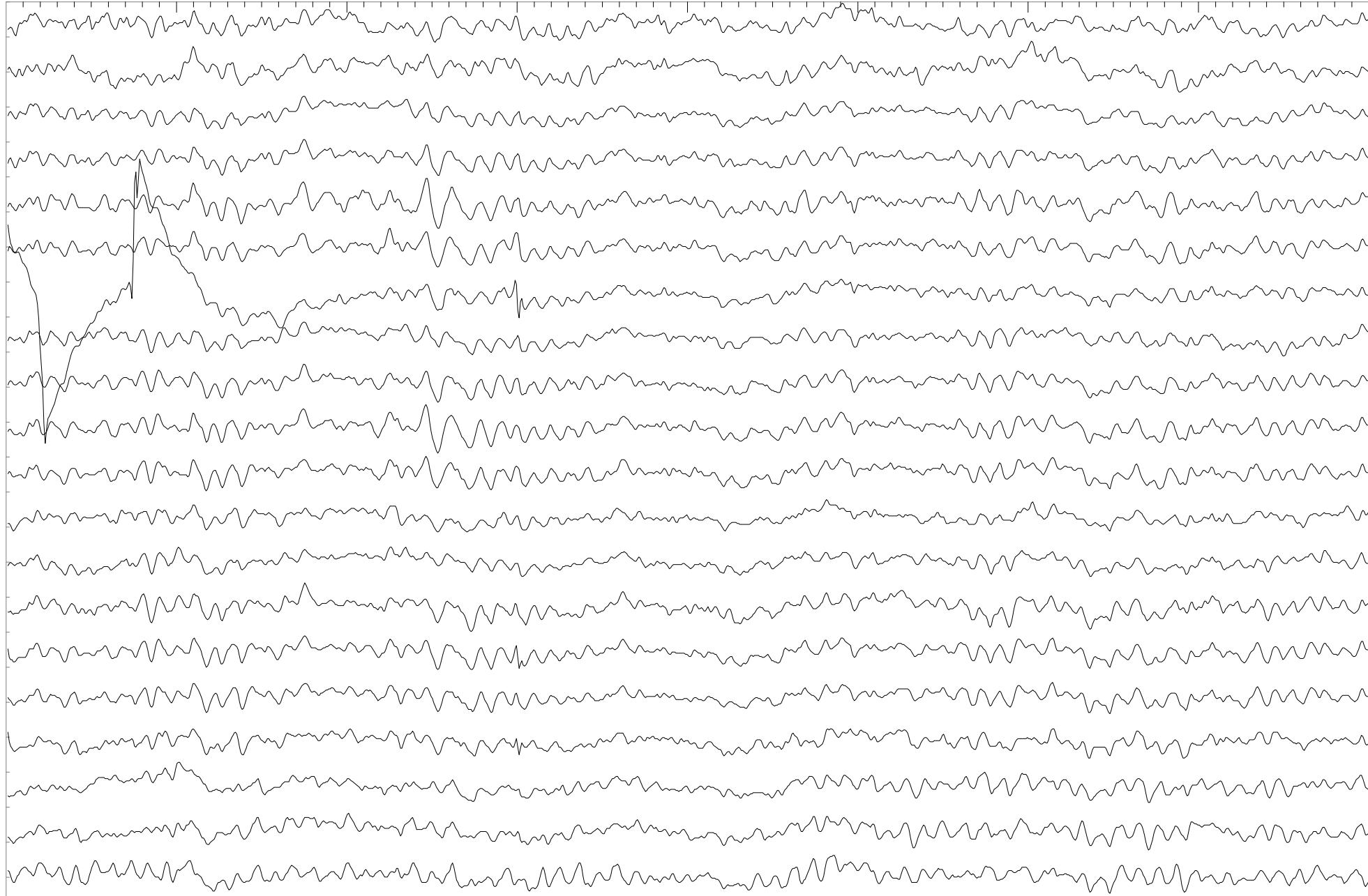


Dama Telemedicina
Marcelo Volpe

12:32:37 h:min:s	12:32:37 h:min:s	12:32:37 h:min:s	12:32:51 h:min:s	12:32:52 h:min:s	12:32:53 h:min:s	12:32:54 h:min:s	12:32:55 h:min:s
Olhos abertos							

Época: 1 - Horário: 12:32:37 - Estágio: 0 (8 seg.)

FP1
FP2
F7
F3
FZ
F4
F8
T3
C3
CZ
C4
T4
T5
P3
PZ
P4
T6
O1
OZ
O2



Dama Telemedicina

Marcelo Volpe

Pág. 9/1205

12:32:56 h:min:s

Olhos abertos

12:32:57 h:min:s

Olhos abertos

12:32:58 h:min:s

Olhos abertos

12:32:59 h:min:s

Vigília

12:33:00 h:min:s

Vigília

12:33:01 h:min:s

Vigília

12:33:02 h:min:s

Vigília

12:33:03 h:min:s

Vigília

Época: 1 - Horário: 12:32:57 - Estágio: 0 (8 seg.)

FP1

FP2

F7

F3

FZ

F4

F8

T3

C3

CZ

C4

T4

T5

P3

PZ

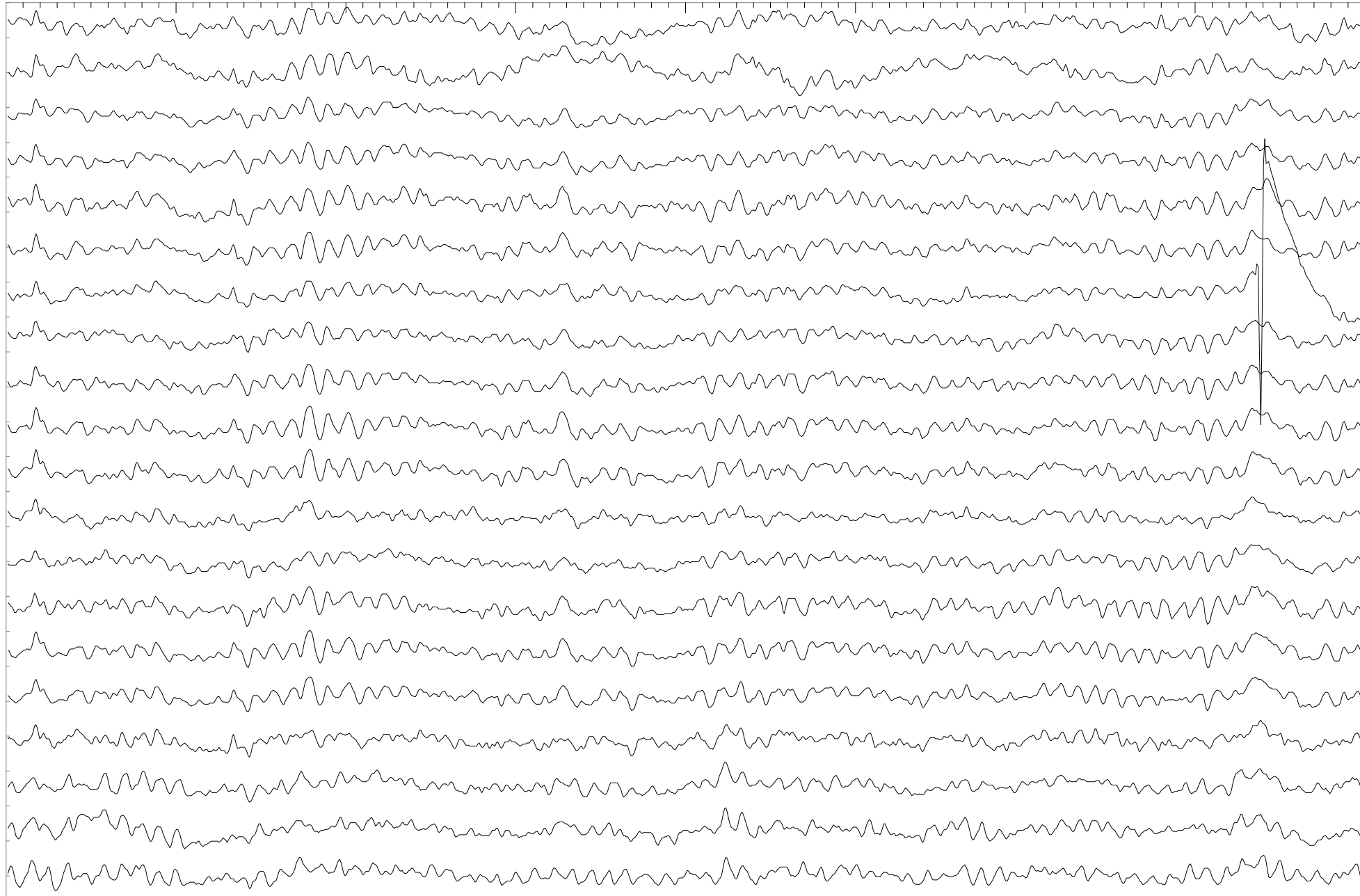
P4

T6

O1

OZ

O2



Dama Telemedicina

Marcelo Volpe

Pág. 17/1205

12:33:04 h:min:s

Vigília

12:33:05 h:min:s

Vigília

12:33:06 h:min:s

Vigília

12:33:07 h:min:s

Vigília

12:33:08 h:min:s

Vigília

12:33:09 h:min:s

Vigília

12:33:10 h:min:s

Vigília

12:33:11 h:min:s

Vigília

Época: 1 - Horário: 12:33:05 - Estágio: 0 (8 seg.)

FP1

FP2

F7

F3

FZ

F4

F8

T3

C3

CZ

C4

T4

T5

P3

PZ

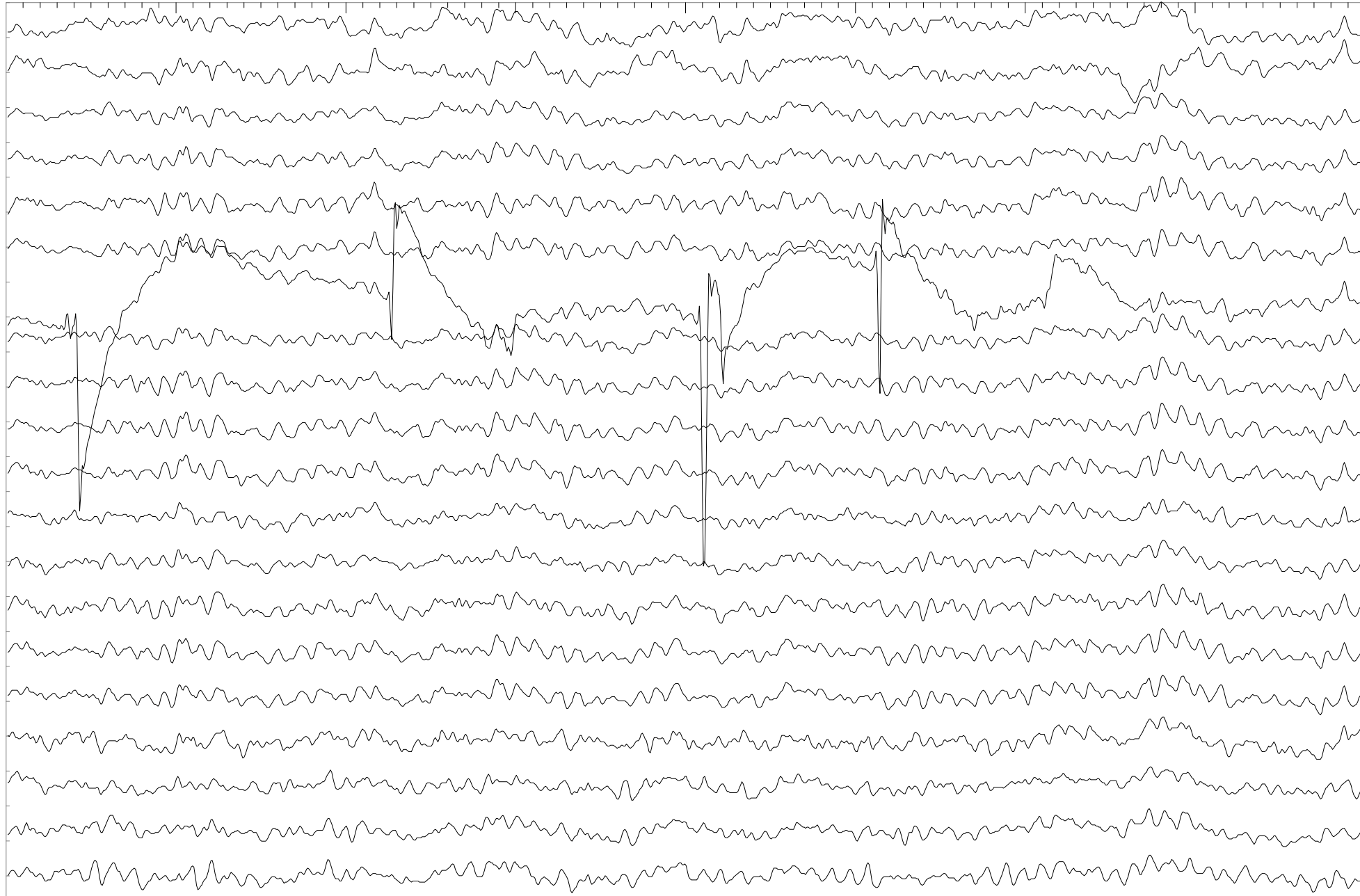
P4

T6

O1

OZ

O2



Dama Telemedicina

Marcelo Volpe

Pág. 25/1205

12:33:12 h:min:s

Vigília

12:33:13 h:min:s

Vigília

12:33:14 h:min:s

Vigília

12:33:15 h:min:s

Vigília

12:33:16 h:min:s

Vigília

12:33:17 h:min:s

Vigília

12:33:18 h:min:s

Vigília

12:33:19 h:min:s

Vigília

Época: 1 - Horário: 12:33:13 - Estágio: 0 (8 seg.)

FP1

FP2

F7

F3

FZ

F4

F8

T3

C3

CZ

C4

T4

T5

P3

PZ

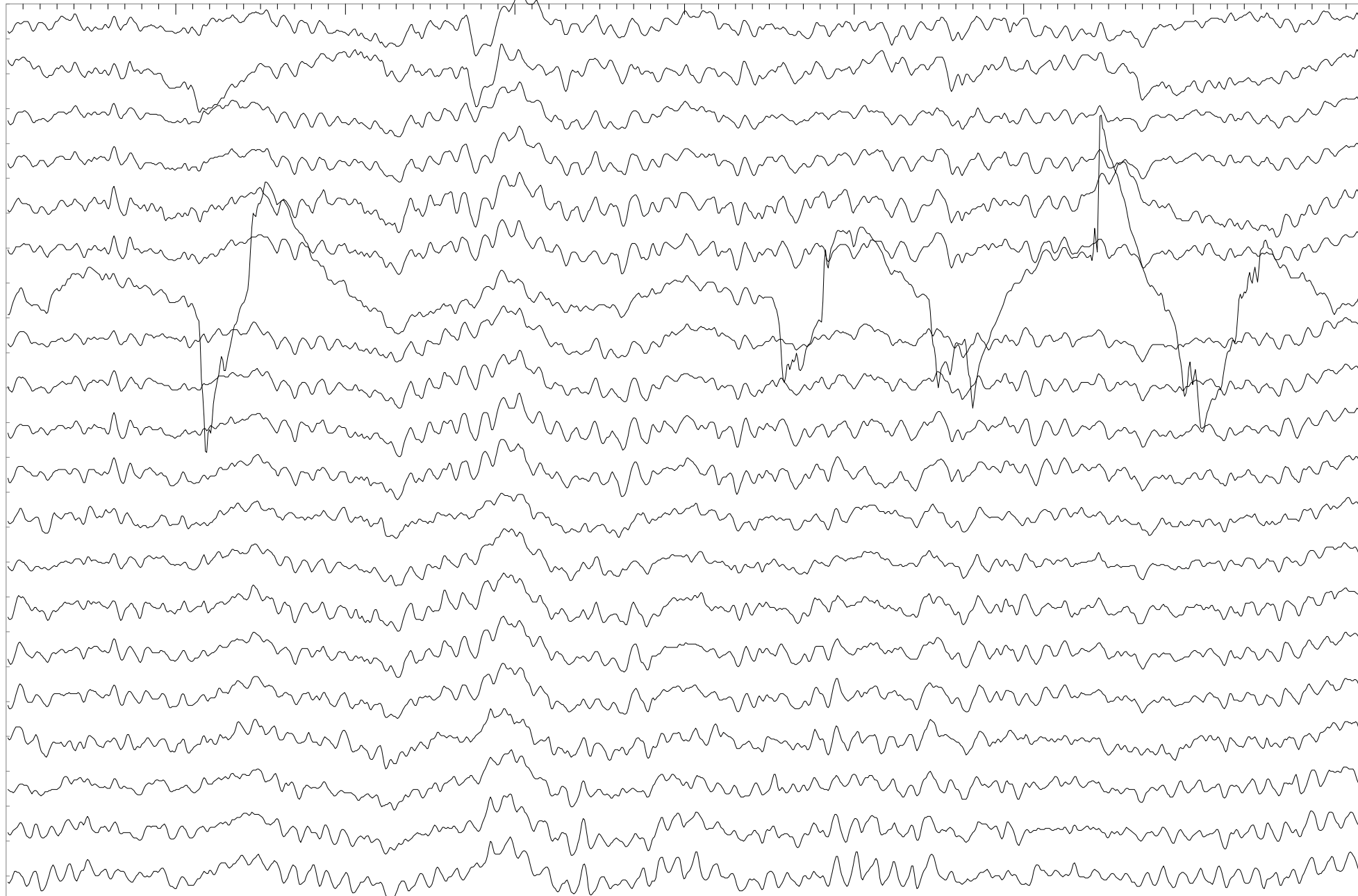
P4

T6

O1

OZ

O2



Dama Telemedicina
Marcelo Volpe

12:37:36 h:min:s
Hiperpnéia

12:37:37 h:min:s
Hiperpnéia

12:37:38 h:min:s
Hiperpnéia

12:37:39 h:min:s
Hiperpnéia

12:37:40 h:min:s
Hiperpnéia

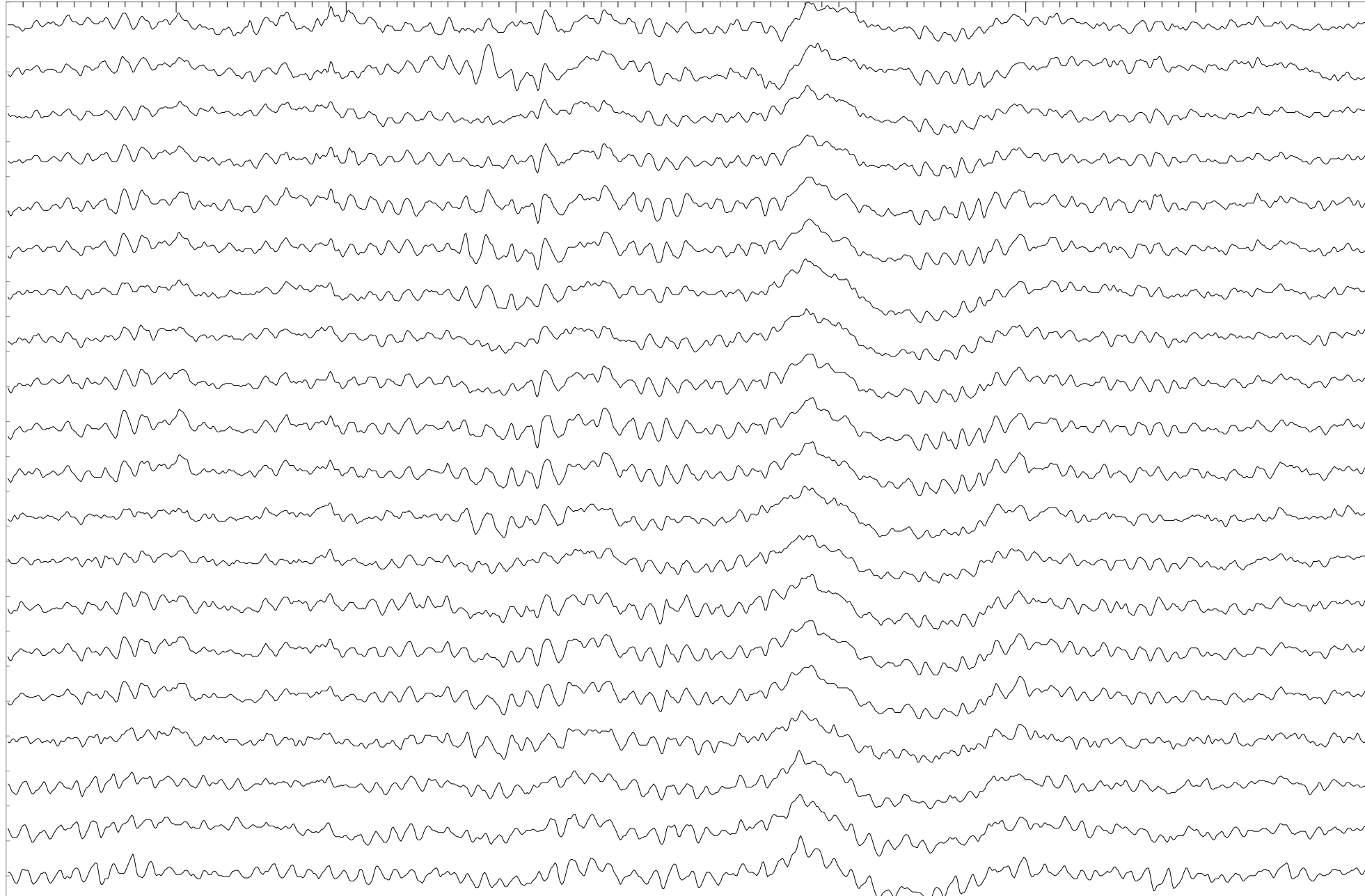
12:37:41 h:min:s
Hiperpnéia

12:37:42 h:min:s
Hiperpnéia

12:37:43 h:min:s
Hiperpnéia

Época: 10 - Horário: 12:37:37 - Estágio: 0 (8 seg.)

FP1
FP2
F7
F3
FZ
F4
F8
T3
C3
CZ
C4
T4
T5
P3
PZ
P4
T6
O1
OZ
O2



Dama Telemedicina
Marcelo Volpe

Pág. 321/1205

12:38:08 h:min:s

12:38:09 h:min:s

12:38:10 h:min:s

12:38:11 h:min:s

12:38:12 h:min:s

12:38:13 h:min:s

12:38:14 h:min:s

12:38:15 h:min:s

Hiperpnéia

Hiperpnéia

Hiperpnéia

Hiperpnéia

Hiperpnéia

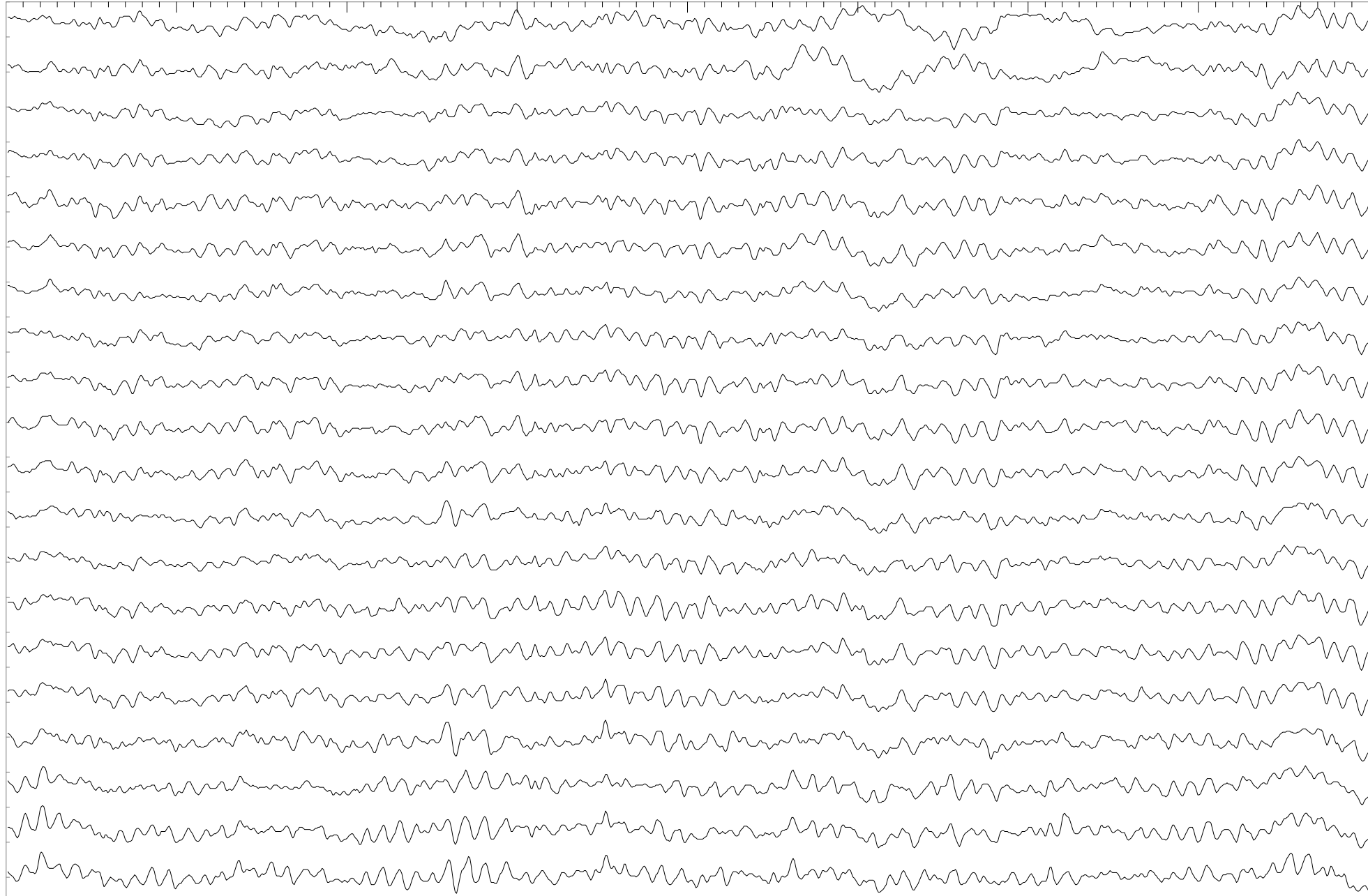
Hiperpnéia

Hiperpnéia

Hiperpnéia

Época: 11 - Horário: 12:38:09 - Estágio: 0 (8 seg.)

FP1
FP2
F7
F3
FZ
F4
F8
T3
C3
CZ
C4
T4
T5
P3
PZ
P4
T6
O1
OZ
O2



Dama Telemedicina
Marcelo Volpe

Pág. 481/1205

12:40:48 h:min:s

12:40:49 h:min:s

12:40:50 h:min:s

12:40:51 h:min:s

12:40:52 h:min:s

12:40:53 h:min:s

12:40:54 h:min:s

12:40:55 h:min:s

Pós hiperpnéia

Época: 17 - Horário: 12:40:49 - Estágio: 0 (8 seg.)

FP1
FP2
F7
F3
FZ
F4
F8
T3
C3
CZ
C4
T4
T5
P3
PZ
P4
T6
O1
OZ
O2



Dama Telemedicina

Marcelo Volpe

Pág. 513/1205

12:41:20 h:min:s

12:41:21 h:min:s

12:41:22 h:min:s

12:41:23 h:min:s

12:41:24 h:min:s

12:41:25 h:min:s

12:41:26 h:min:s

12:41:27 h:min:s

Pós hiperpnéia

Época: 18 - Horário: 12:41:21 - Estágio: 0 (8 seg.)

FP1

FP2

F7

F3

FZ

F4

F8

T3

C3

CZ

C4

T4

T5

P3

PZ

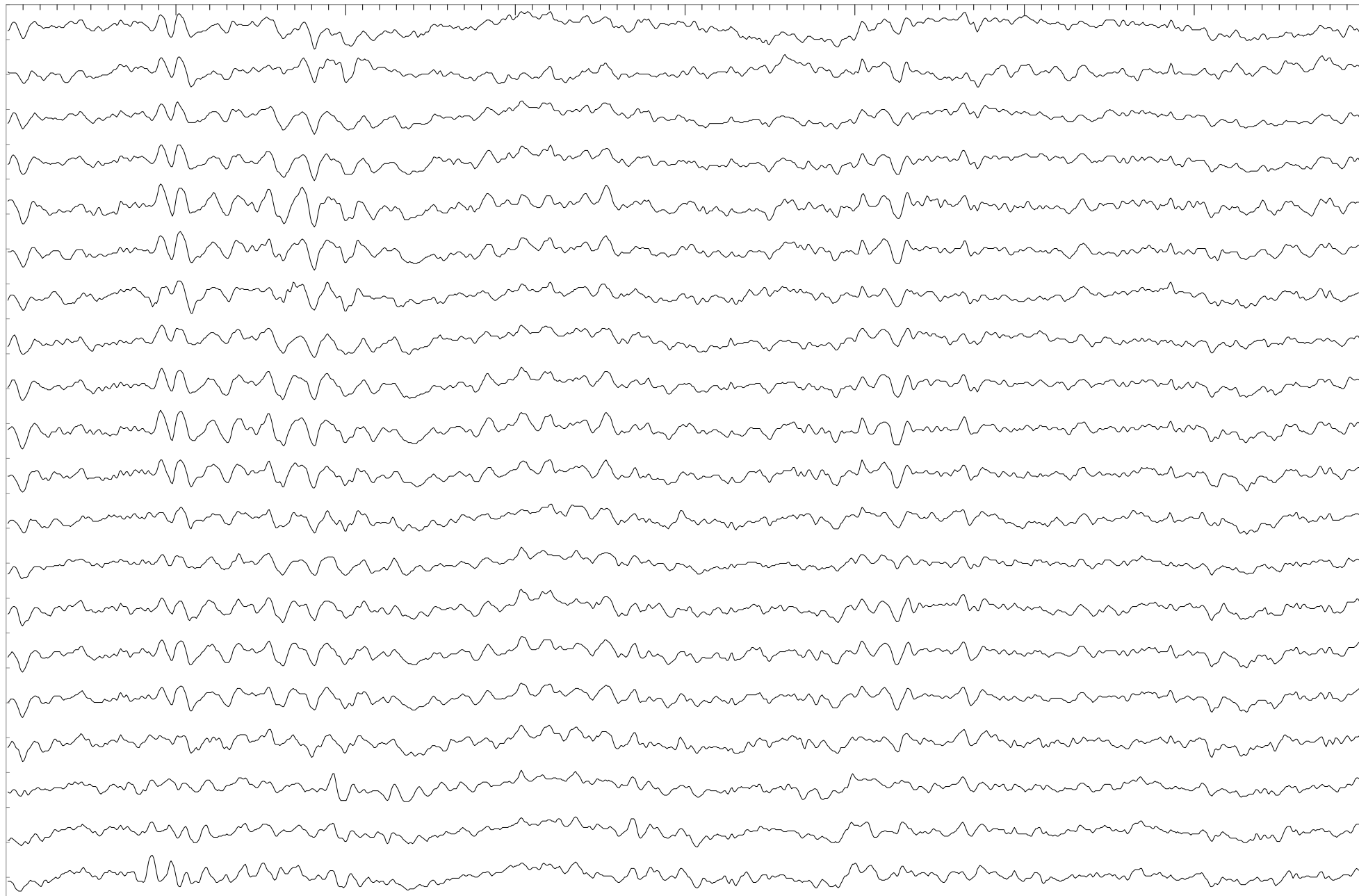
P4

T6

O1

OZ

O2



Dama Telemedicina
Marcelo Volpe

Pág. 1105/1205

12:51:11 h:min:s
Vigília

12:51:12 h:min:s
Vigília

12:51:13 h:min:s
Vigília

12:51:14 h:min:s
Vigília

12:51:15 h:min:s
Vigília

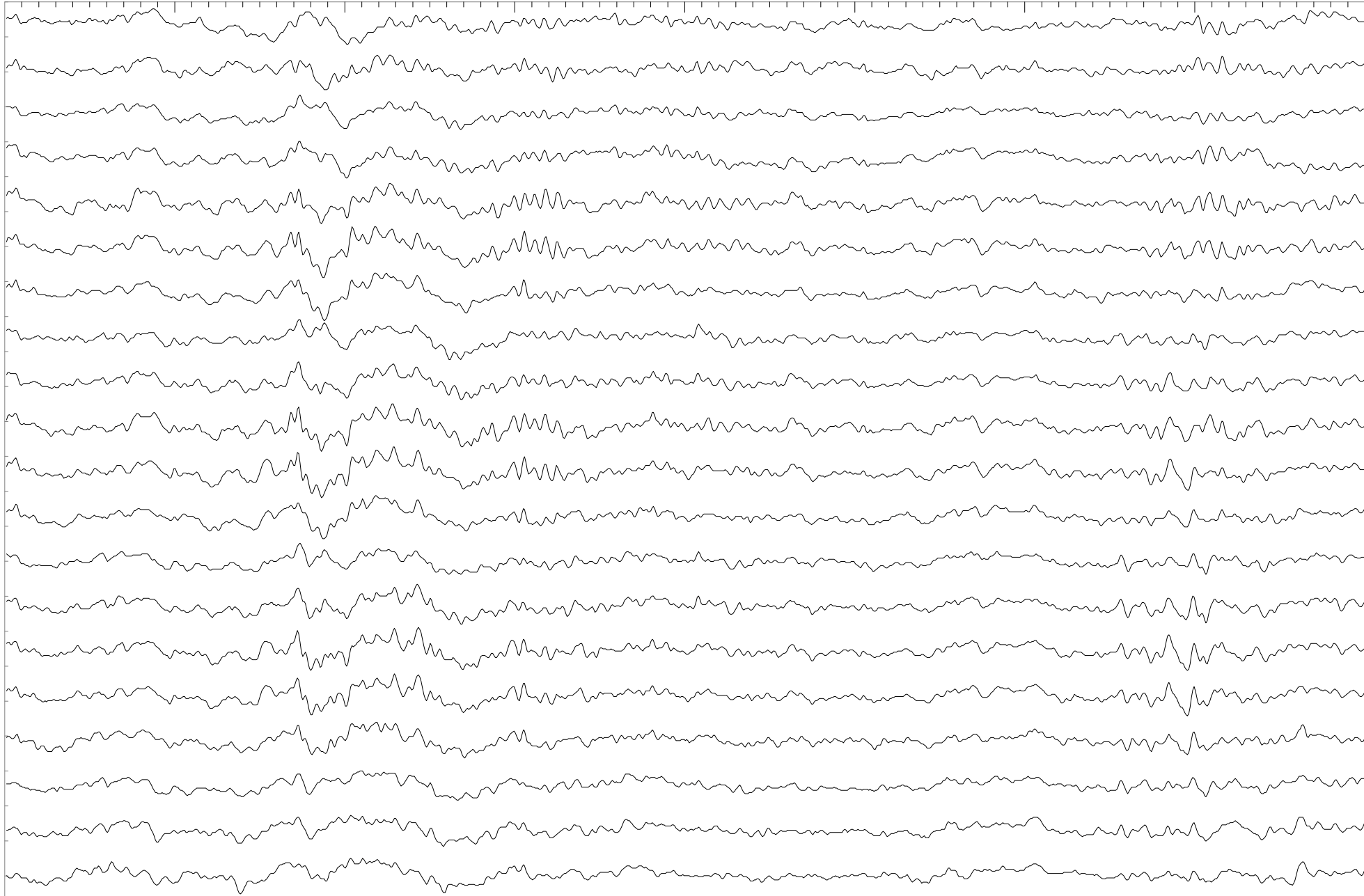
12:51:16 h:min:s
Vigília

12:51:17 h:min:s
Vigília

12:51:18 h:min:s
Vigília

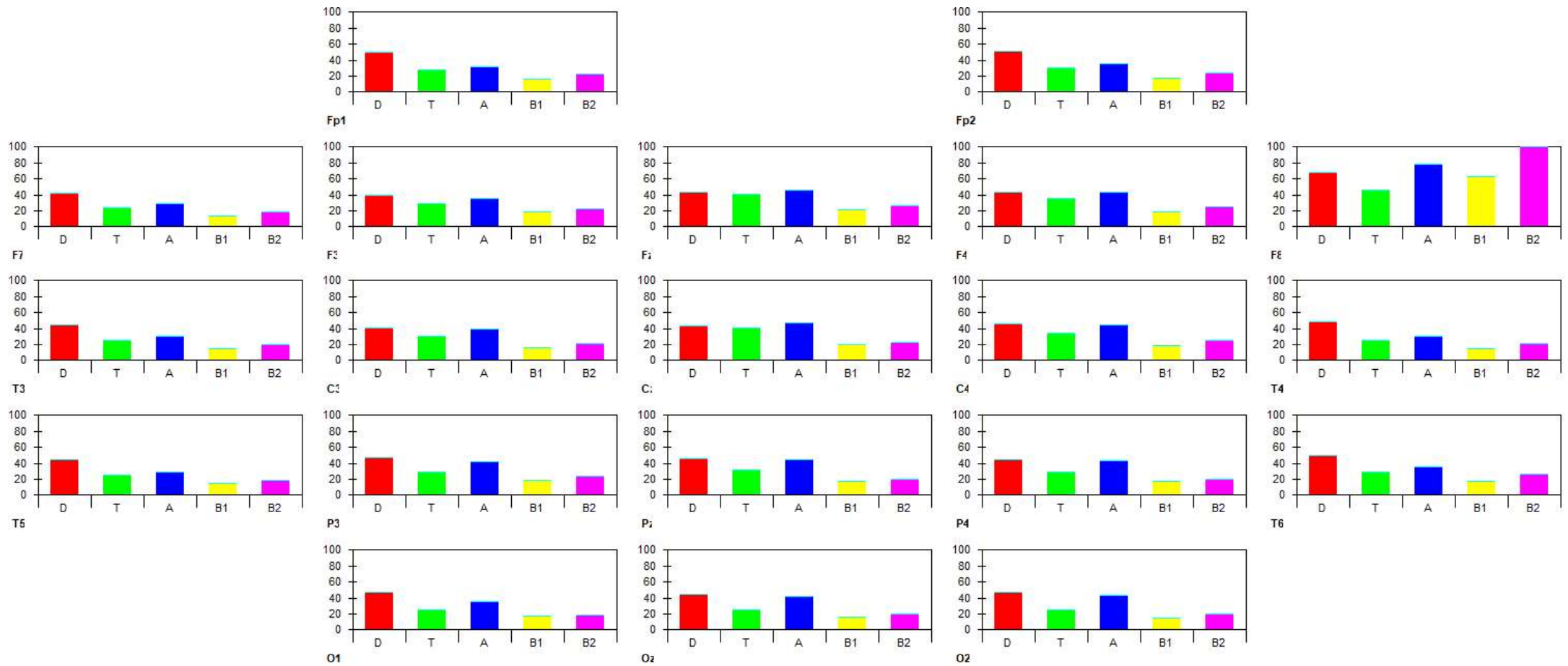
Época: 37 - Horário: 12:51:12 - Estágio: 0 (8 seg.)

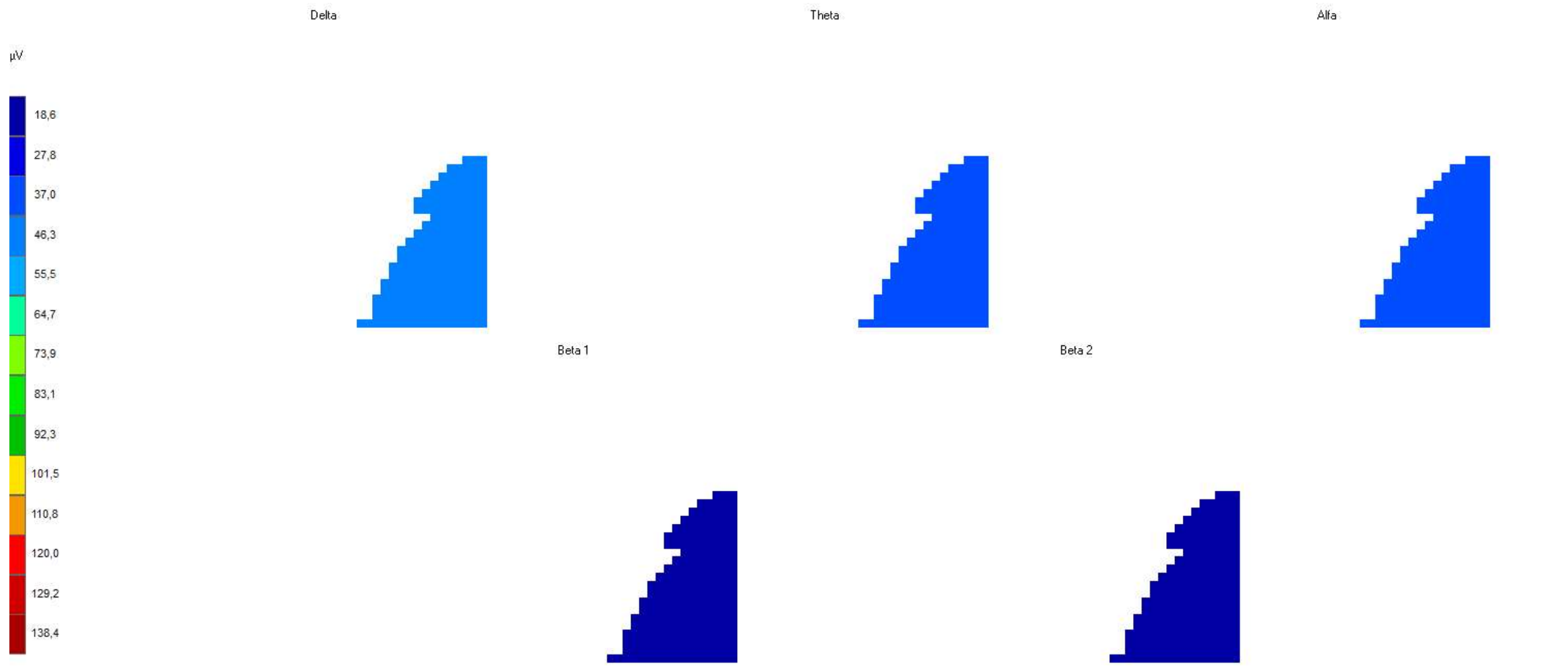
FP1
FP2
F7
F3
FZ
F4
F8
T3
C3
CZ
C4
T4
T5
P3
PZ
P4
T6
O1
OZ
O2



Dama Telemedicina

Marcelo Volpe





Dama Telemedicina
 Marcelo Volpe

Fp1			
	F.Dom.	µV	µV %
D	,5	49,5	33,6
T	5,5	27,1	18,4
A	8,5	31,4	21,3
B1	15,5	16,5	11,2
B2	18,5	22,9	15,5

Fp2			
	F.Dom.	µV	µV %
D	,5	50,8	32,1
T	5,5	30,8	19,4
A	8,5	35,9	22,6
B1	16,0	16,8	10,6
B2	19,5	24,1	15,2

F7			
	F.Dom.	µV	µV %
D	,5	41,8	33,1
T	5,5	23,9	19,0
A	8,5	28,6	22,6
B1	15,5	13,8	11,0
B2	19,5	18,1	14,3

F3			
	F.Dom.	µV	µV %
D	1,0	39,7	27,3
T	5,5	29,2	20,1
A	8,5	35,8	24,7
B1	15,5	18,2	12,5
B2	18,5	22,5	15,4

Fz			
	F.Dom.	µV	µV %
D	1,0	43,0	24,2
T	5,5	40,7	22,9
A	8,5	46,2	26,0
B1	15,0	21,4	12,1
B2	19,0	26,4	14,9

F4			
	F.Dom.	µV	µV %
D	1,0	43,6	26,1
T	5,5	36,8	21,5
A	8,5	43,1	25,8
B1	15,0	19,2	11,5
B2	18,5	25,2	15,1

F8			
	F.Dom.	µV	µV %
D	,5	68,2	17,1
T	7,5	46,5	11,4
A	8,5	78,0	19,6
B1	13,0	63,1	15,9
B2	25,0	143,4	36,0

T3			
	F.Dom.	µV	µV %
D	,5	44,0	32,9
T	6,5	25,5	19,0
A	8,5	29,7	22,2
B1	15,5	15,0	11,2
B2	18,5	19,6	14,7

C3			
	F.Dom.	µV	µV %
D	1,0	41,2	27,6
T	6,0	30,6	20,5
A	8,5	39,8	26,6
B1	15,0	16,6	11,1
B2	18,5	21,2	14,2

Cz			
	F.Dom.	µV	µV %
D	1,0	43,5	25,0
T	6,0	40,7	23,4
A	8,5	46,7	26,8
B1	15,0	19,9	11,5
B2	18,5	23,1	13,3

C4			
	F.Dom.	µV	µV %
D	1,0	45,3	27,0
T	6,0	34,2	20,4
A	8,5	44,1	26,3
B1	15,0	19,0	11,3
B2	19,0	25,3	15,1

T4			
	F.Dom.	µV	µV %
D	,5	48,3	34,5
T	4,5	25,3	18,0
A	8,5	30,0	21,5
B1	13,5	15,2	10,8
B2	19,5	21,2	15,1

T5			
	F.Dom.	µV	µV %
D	1,0	43,9	33,5
T	6,5	24,9	19,0
A	9,5	28,9	22,0
B1	15,5	14,8	11,3
B2	19,0	18,8	14,3

P3			
	F.Dom.	µV	µV %
D	1,0	47,8	29,6
T	5,5	29,6	18,3
A	8,5	41,9	25,9
B1	15,5	18,0	11,2
B2	19,0	24,1	14,9

Pz			
	F.Dom.	µV	µV %
D	1,0	45,6	28,8
T	6,0	31,1	19,7
A	8,5	44,1	27,9
B1	15,5	17,3	10,9
B2	19,0	20,2	12,8

P4			
	F.Dom.	µV	µV %
D	1,0	44,4	28,9
T	6,5	29,4	19,2
A	8,5	42,6	27,8
B1	15,0	17,0	11,1
B2	19,0	20,0	13,0

T6			
	F.Dom.	µV	µV %
D	1,0	49,5	31,2
T	5,0	29,4	18,5
A	8,5	35,2	22,2
B1	13,0	18,0	11,4
B2	19,5	26,6	16,7

O1			
	F.Dom.	µV	µV %
D	1,0	47,4	32,9
T	7,5	24,9	17,2
A	8,5	35,5	24,6
B1	16,5	17,2	11,9
B2	18,5	19,2	13,3

Oz			
	F.Dom.	µV	µV %
D	1,0	44,7	30,5
T	7,5	24,6	16,7
A	8,5	41,5	28,3
B1	15,5	16,4	11,2
B2	19,5	19,5	13,3

O2			
	F.Dom.	µV	µV %
D	1,0	47,6	31,2
T	7,5	25,5	16,7
A	8,5	43,4	28,5
B1	17,0	15,3	10,0
B2	18,5	20,6	13,5

	Delta			Theta			Alfa			Beta 1			Beta 2		
	F.Dom.	µV	µV %	F.Dom.	µV	µV %									
FP1	,5	49,5	33,6	5,5	27,1	18,4	8,5	31,4	21,3	15,5	16,5	11,2	18,5	22,9	15,5
FP2	,5	50,8	32,1	5,5	30,8	19,4	8,5	35,9	22,6	16,0	16,8	10,6	19,5	24,1	15,2
F7	,5	41,8	33,1	5,5	23,9	19,0	8,5	28,6	22,6	15,5	13,8	11,0	19,5	18,1	14,3
F3	1,0	39,7	27,3	5,5	29,2	20,1	8,5	35,8	24,7	15,5	18,2	12,5	18,5	22,5	15,4
FZ	1,0	43,0	24,2	5,5	40,7	22,9	8,5	46,2	26,0	15,0	21,4	12,1	19,0	26,4	14,9
F4	1,0	43,6	26,1	5,5	35,8	21,5	8,5	43,1	25,8	15,0	19,2	11,5	18,5	25,2	15,1
F8	,5	68,2	17,1	7,5	45,5	11,4	8,5	78,0	19,6	13,0	63,1	15,9	25,0	143,4	36,0
T3	,5	44,0	32,9	6,5	25,5	19,0	8,5	29,7	22,2	15,5	15,0	11,2	18,5	19,6	14,7
C3	1,0	41,2	27,6	6,0	30,6	20,5	8,5	39,8	26,6	15,0	16,6	11,1	18,5	21,2	14,2
CZ	1,0	43,5	25,0	6,0	40,7	23,4	8,5	46,7	26,8	15,0	19,9	11,5	18,5	23,1	13,3
C4	1,0	45,3	27,0	6,0	34,2	20,4	8,5	44,1	26,3	15,0	19,0	11,3	19,0	25,3	15,1
T4	,5	48,3	34,5	4,5	25,3	18,0	8,5	30,0	21,5	13,5	15,2	10,8	19,5	21,2	15,1
T5	1,0	43,9	33,5	6,5	24,9	19,0	9,5	28,9	22,0	15,5	14,8	11,3	19,0	18,8	14,3
P3	1,0	47,8	29,6	5,5	29,6	18,3	8,5	41,9	25,9	15,5	18,0	11,2	19,0	24,1	14,9
PZ	1,0	45,6	28,8	6,0	31,1	19,7	8,5	44,1	27,9	15,5	17,3	10,9	19,0	20,2	12,8
P4	1,0	44,4	28,9	6,5	29,4	19,2	8,5	42,6	27,8	15,0	17,0	11,1	19,0	20,0	13,0
T6	1,0	49,5	31,2	5,0	29,4	18,5	8,5	35,2	22,2	13,0	18,0	11,4	19,5	26,6	16,7
O1	1,0	47,4	32,9	7,5	24,9	17,2	8,5	35,5	24,6	16,5	17,2	11,9	18,5	19,2	13,3
OZ	1,0	44,7	30,5	7,5	24,6	16,7	8,5	41,5	28,3	15,5	16,4	11,2	19,5	19,5	13,3
O2	1,0	47,6	31,2	7,5	25,5	16,7	8,5	43,4	28,5	17,0	15,3	10,0	18,5	20,6	13,5

	Delta			Theta			Alfa			Beta 1			Beta 2		
	F.Dom.	µV	µV %	F.Dom.	µV	µV %									
FP1	,5	49,5	33,6	5,5	27,1	18,4	8,5	31,4	21,3	15,5	16,5	11,2	18,5	22,9	15,5
FP2	,5	50,8	32,1	5,5	30,8	19,4	8,5	35,9	22,6	16,0	16,8	10,6	19,5	24,1	15,2
F7	,5	41,8	33,1	5,5	23,9	19,0	8,5	28,6	22,6	15,5	13,8	11,0	19,5	18,1	14,3
F3	1,0	39,7	27,3	5,5	29,2	20,1	8,5	35,8	24,7	15,5	18,2	12,5	18,5	22,5	15,4
FZ	1,0	43,0	24,2	5,5	40,7	22,9	8,5	46,2	26,0	15,0	21,4	12,1	19,0	26,4	14,9
F4	1,0	43,6	26,1	5,5	35,8	21,5	8,5	43,1	25,8	15,0	19,2	11,5	18,5	25,2	15,1
F8	,5	68,2	17,1	7,5	45,5	11,4	8,5	78,0	19,6	13,0	63,1	15,9	25,0	143,4	36,0
T3	,5	44,0	32,9	6,5	25,5	19,0	8,5	29,7	22,2	15,5	15,0	11,2	18,5	19,6	14,7
C3	1,0	41,2	27,6	6,0	30,6	20,5	8,5	39,8	26,6	15,0	16,6	11,1	18,5	21,2	14,2
CZ	1,0	43,5	25,0	6,0	40,7	23,4	8,5	46,7	26,8	15,0	19,9	11,5	18,5	23,1	13,3
C4	1,0	45,3	27,0	6,0	34,2	20,4	8,5	44,1	26,3	15,0	19,0	11,3	19,0	25,3	15,1
T4	,5	48,3	34,5	4,5	25,3	18,0	8,5	30,0	21,5	13,5	15,2	10,8	19,5	21,2	15,1
T5	1,0	43,9	33,5	6,5	24,9	19,0	9,5	28,9	22,0	15,5	14,8	11,3	19,0	18,8	14,3
P3	1,0	47,8	29,6	5,5	29,6	18,3	8,5	41,9	25,9	15,5	18,0	11,2	19,0	24,1	14,9
PZ	1,0	45,6	28,8	6,0	31,1	19,7	8,5	44,1	27,9	15,5	17,3	10,9	19,0	20,2	12,8
P4	1,0	44,4	28,9	6,5	29,4	19,2	8,5	42,6	27,8	15,0	17,0	11,1	19,0	20,0	13,0
T6	1,0	49,5	31,2	5,0	29,4	18,5	8,5	35,2	22,2	13,0	18,0	11,4	19,5	26,6	16,7
O1	1,0	47,4	32,9	7,5	24,9	17,2	8,5	35,5	24,6	16,5	17,2	11,9	18,5	19,2	13,3
OZ	1,0	44,7	30,5	7,5	24,6	16,7	8,5	41,5	28,3	15,5	16,4	11,2	19,5	19,5	13,3
O2	1,0	47,6	31,2	7,5	25,5	16,7	8,5	43,4	28,5	17,0	15,3	10,0	18,5	20,6	13,5

Relação de modos de gravação e eventos

<u>Época</u>	<u>Horário</u>	<u>Duração</u>	<u>Descrição</u>
1	12:32:37	00:11	Olhos abertos
1	12:32:59	03:51	Vigília
9	12:36:50	00:06	Olhos abertos
9	12:36:56	00:12	Olhos fechados
9	12:37:08	00:07	Olhos abertos
9	12:37:15	00:18	Olhos fechados
10	12:37:33	02:54	Hiperpnéia
16	12:40:27	01:48	Pós hiperpnéia
19	12:42:15	10:38	Vigília